



Resolución Viceministerial

Nro. 035-2018-VMPCIC-MC

Lima, **07 MAR. 2018**

VISTA, la solicitud presentada por la señora Jane Buikstra, sobre autorización para exportación de muestras arqueológicas con fines científicos; y,

CONSIDERANDO:

Que, de conformidad con el artículo 59 del Reglamento de la Ley N° 28296, Ley General del Patrimonio Cultural de la Nación, aprobado por Decreto Supremo N° 011-2006-ED, la exportación de muestras arqueológicas, fragmentos o restos es autorizada por el Instituto Nacional de Cultura, mediante resolución de su máxima autoridad;

Que, mediante la Ley N° 29565 se creó el Ministerio de Cultura como organismo del Poder Ejecutivo con personería jurídica de Derecho Público. Asimismo, a través del Decreto Supremo N° 001-2010-MC se aprobó la fusión, entre otros, del Instituto Nacional de Cultura en el citado Ministerio, por lo que toda referencia normativa al Instituto Nacional de Cultura se debe entender como Ministerio de Cultura;

Que, los artículos 91 y 92 del Reglamento de Intervenciones Arqueológicas, aprobado por Decreto Supremo N° 003-2014-MC (en adelante RIA) regulan los requisitos y procedimientos para la exportación de muestras arqueológicas con fines científicos;

Que, el citado artículo 92 precisa que en el caso de un análisis destructivo de la muestra, en la resolución de autorización se retirará su condición de bien integrante del Patrimonio Cultural de la Nación;

Que, mediante Resolución Directoral N° 000006-2017/DGM/VMPCIC/MC del 02 de marzo de 2017 se aprobó la ejecución del Proyecto de Investigación de Colecciones y Fondos Museográficos "Proyecto de Colecciones Museográficas Identificación de Tuberculosis en Poblaciones Prehispánicas 2017";

Que, mediante Resolución Directoral N° 000025-2017/DGM/VMPCIC/MC del 04 de julio de 2017 se aprobó la ejecución del Proyecto de Investigación de Colecciones y Fondos Museográficos "Proyecto de Colecciones Museográficas Colesuyo 2017";

Que, mediante carta de autorización del 18 de agosto de 2017 la Dirección Desconcentrada de Cultura de Moquegua, verificó y autorizó el traslado de las doscientos setenta (270) muestras a exportar;

Que, mediante documento de visto, la señora Jane Buikstra solicitó la exportación de doscientos setenta (270) muestras de hueso y dientes humanos procedentes de diferentes sitios arqueológicos de Moquegua, las cuales serán sometidas a dos análisis científicos de carácter destructivo: Análisis isotópico y ADN



antiguo, en el Centro de Investigaciones Bioantropológicas de la Universidad de Arizona, ubicado en el estado de Arizona - Estados Unidos de América. El traslado de muestras estará a cargo de la ciudadana Sofía Consuelo Chacaltana Cortéz, de nacionalidad peruana, identificada con Documento Nacional de Identidad N° 10309064;

Que, por Resolución Directoral N° 444-2017/DGPA/VMPCIC/MC del 29 de diciembre de 2017, la Dirección General de Patrimonio Arqueológico Inmueble delegó en la Dirección General de Museos, la función relacionada a la emisión de pronunciamiento respecto de la salida de muestras de material arqueológico para análisis en el exterior del país prevista en el numeral 63.2 del artículo 63 del Reglamento de Organización y Funciones del Ministerio de Cultura, aprobado por Decreto Supremo N° 003-2015-MC;

Que, a través del Memorando N° 000130-2018/DGM/VMPCIC/MC del 01 de marzo de 2018, la Dirección General de Museos, remitió los Informes N° 000035-2018/DRBM/DGM/VMPCIC/MC y N° 000021-2018-MGL/DRBM/DGM/VMPCIC/MC de la Dirección de Gestión, Registro y Catalogación de Bienes Culturales Muebles, por los cuales se emitió opinión favorable para el otorgamiento de la autorización de exportación de doscientos setenta (270) muestras arqueológicas para el análisis solicitado;

Que, en mérito a la Resolución Ministerial N° 005-2018-MC del 04 de enero de 2018, se resolvió delegar en el Viceministro de Patrimonio Cultural e Industrias Culturales la facultad de autorizar la exportación de muestras arqueológicas, fragmentos o restos a que se refiere el artículo 59 del Reglamento de la Ley N° 28296, aprobado mediante Decreto Supremo N° 011-2006-ED;

Que, en consecuencia, al verificarse el cumplimiento de los requisitos establecidos en el artículo 91 del Reglamento de Intervenciones Arqueológicas, aprobado por Decreto Supremo N° 003-2014-MC, corresponde autorizar la solicitud de exportación de muestras arqueológicas con fines científicos solicitada;

De conformidad con lo dispuesto en la Ley N° 29565, Ley de creación del Ministerio de Cultura; en la Ley N° 28296, Ley General del Patrimonio Cultural de la Nación; en el Reglamento de la Ley N° 28296, aprobado por Decreto Supremo N° 011-2006-ED; en el Reglamento de Intervenciones Arqueológicas, aprobado por Decreto Supremo N° 003-2014-MC; en el Reglamento de Organización y Funciones del Ministerio de Cultura, aprobado por Decreto Supremo N° 005-2013-MC; la Resolución Ministerial N° 005-2018-MC y la Resolución Directoral N° 444-2017/DGPA/VMPCIC/MC;

SE RESUELVE:

Artículo 1.- Autorizar la exportación de doscientos setenta (270) muestras arqueológicas provenientes de sitios arqueológicos de Moquegua en el marco de la autorización de los proyectos de investigación de Colecciones y Fondos Museográficos "Proyecto de Colecciones Museográficas Identificación de Tuberculosis





Resolución Viceministerial

Nro. 035-2018-VMPCIC-MC

en Poblaciones Prehispánicas 2017", autorizada mediante Resolución Directoral N° 000006-2017/DGM/VMPCIC/MC y "Proyecto de Colecciones Museográficas Colesuyo 2017", autorizada con Resolución Directoral N° 000025-2017/DGM/VMPCIC/MC, solicitada por la señora Jane Buikstra, para que sean sometidas a análisis científicos de carácter destructivo: Análisis isotópico y ADN antiguo, en el Centro de Investigaciones Bioantropológicas de la Universidad de Arizona, ubicado en el estado de Arizona - Estados Unidos de América, según se describe en el anexo que forma parte integrante de la presente Resolución Viceministerial.

Artículo 2.- Retirar la condición de bienes integrantes del Patrimonio Cultural de la Nación a las doscientos setenta (270) muestras arqueológicas, cuya exportación se autoriza por medio de la presente Resolución Viceministerial.

Artículo 3.- Autorizar a la ciudadana Sofía Consuelo Chacaltana Cortéz, de nacionalidad peruana, identificada con Documento Nacional de Identidad N° 10309064, para que efectúe el traslado físico de doscientos setenta (270) muestras arqueológicas a los Estados Unidos de América, siendo dicha autorización personal e intransferible.

Artículo 4.- Disponer que una vez finalizados los análisis y en el plazo máximo de un (01) año, la señora Jane Buikstra, presente un informe detallado de los resultados del análisis realizado a las doscientos setenta (270) muestras arqueológicas a la Dirección General de Museos, la cual deberá gestionar su publicación en el Portal Institucional del Ministerio de Cultura.

Artículo 5.- Notificar la presente Resolución Viceministerial a la señora Jane Buikstra.

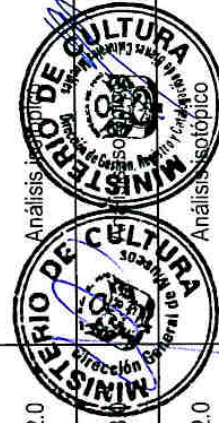
Regístrese y comuníquese.

MINISTERIO DE CULTURA

JORGE ERNESTO ARRUNÁTEGUI GADEA
Viceministro de Patrimonio Cultural e Industrias Culturales

LISTADO DE 270 MUESTRAS A EXPORTAR
Expediente N° 6000-2018

| N° | N° DE MUESTRA | SITIO | COLECCIÓN | PROYECTO | CANTIDAD | DESCRIPCIÓN | PESO (gr) | TIPO DE ANÁLISIS |
|----|-----------------|---------------|-----------------|------------------------|----------|--|-----------|----------------------------------|
| 1 | CB06-47-0076_01 | Cerro Baul T1 | Cerro Baul 2006 | Proyecto Colesuyo 2017 | 1 | 2° molar superior izquierdo | 2.0 | ADN antiguo y análisis isotópico |
| 2 | CB06-47-0076_02 | Cerro Baul T1 | Cerro Baul 2006 | Proyecto Colesuyo 2017 | 1 | Vértebra lumbar (fragmento del arco) | 5.0 | ADN antiguo y análisis isotópico |
| 3 | CB06-47-0076_03 | Cerro Baul T1 | Cerro Baul 2006 | Proyecto Colesuyo 2017 | 1 | Vértebra lumbar (fragmento del cuerpo) | 11.0 | ADN antiguo y análisis isotópico |
| 4 | CB06-47-0087_01 | Cerro Baul T1 | Cerro Baul 2006 | Proyecto Colesuyo 2017 | 1 | 2° incisivo superior derecho | 1.0 | ADN antiguo y análisis isotópico |
| 5 | CB06-47-0087_02 | Cerro Baul T1 | Cerro Baul 2006 | Proyecto Colesuyo 2017 | 1 | Vértebra lumbar (fragmento del cuerpo) | 3.0 | ADN antiguo y análisis isotópico |
| 6 | CB06-47-0087_03 | Cerro Baul T1 | Cerro Baul 2006 | Proyecto Colesuyo 2017 | 1 | Vértebra lumbar (fragmento del arco) | 2.0 | ADN antiguo y análisis isotópico |
| 7 | CB07-44-0025_01 | Cerro Baul T1 | Cerro Baul 2007 | Proyecto Colesuyo 2017 | 1 | 3er molar superior derecho | 1.0 | Análisis isotópico |
| 8 | CB07-44-0025_02 | Cerro Baul T1 | Cerro Baul 2007 | Proyecto Colesuyo 2017 | 1 | Vértebra lumbar (fragmento del cuerpo) | 13.0 | ADN antiguo y análisis isotópico |
| 9 | CB07-44-0025_03 | Cerro Baul T1 | Cerro Baul 2007 | Proyecto Colesuyo 2017 | 1 | Vértebra lumbar (fragmento del arco) | 7.0 | ADN antiguo y análisis isotópico |
| 10 | CB07-45-0095_01 | Cerro Baul T1 | Cerro Baul 2007 | Proyecto Colesuyo 2017 | 1 | 1er molar superior derecho | 2.0 | Análisis isotópico |
| 11 | CB07-45-0095_02 | Cerro Baul T1 | Cerro Baul 2007 | Proyecto Colesuyo 2017 | 1 | 2° molar superior izquierdo | 1.0 | Análisis isotópico |
| 12 | CB07-45-0095_03 | Cerro Baul T1 | Cerro Baul 2007 | Proyecto Colesuyo 2017 | 1 | Vértebra toraxica cuerpo | 2.0 | Análisis isotópico |
| 13 | CB07-45-0095_04 | Cerro Baul T1 | Cerro Baul 2007 | Proyecto Colesuyo 2017 | 1 | Vértebra toraxica arco | 3.0 | Análisis isotópico |
| 14 | CB07-46-0063_01 | Cerro Baul T1 | Cerro Baul 2007 | Proyecto Colesuyo 2017 | 1 | 1er molar inferior derecho | 2.0 | Análisis isotópico |
| 15 | CB07-46-0063_02 | Cerro Baul T1 | Cerro Baul 2007 | Proyecto Colesuyo 2017 | 1 | 2° molar inferior izquierdo | 1.0 | Análisis isotópico |



| | | | | | | | | |
|----|-----------------|---------------|-----------------|-----------------------------|---|--|-----|--------------------|
| 16 | CB07-46-0063_03 | Cerro Baul T1 | Cerro Baul 2007 | Proyecto Colesuyo 2017 | 1 | 4a costilla derecha (fragmento) | 3.0 | Análisis isotópico |
| 17 | CB07-46-0065_01 | Cerro Baul T1 | Cerro Baul 2007 | Proyecto Colesuyo 2017 | 1 | 1er molar inferior izquierdo | 3.0 | Análisis isotópico |
| 18 | CB07-46-0065_02 | Cerro Baul T1 | Cerro Baul 2007 | Proyecto Colesuyo 2017 | 1 | 2° molar inferior izquierdo | 2.0 | Análisis isotópico |
| 19 | CB07-46-0065_03 | Cerro Baul T1 | Cerro Baul 2007 | Proyecto Colesuyo 2017 | 1 | 6a costilla derecha (fragmento) | 6.0 | Análisis isotópico |
| 20 | CB07-46-0073_01 | Cerro Baul T1 | Cerro Baul 2007 | Proyecto Colesuyo 2017 | 1 | 1er molar inferior izquierdo | 2.0 | Análisis isotópico |
| 21 | CB07-46-0073_02 | Cerro Baul T1 | Cerro Baul 2007 | Proyecto Colesuyo 2017 | 1 | 2° molar superior izquierdo | 2.0 | Análisis isotópico |
| 22 | CB07-46-0074_01 | Cerro Baul T1 | Cerro Baul 2007 | Proyecto Colesuyo 2017 | 1 | 1er molar inferior derecho | 2.0 | Análisis isotópico |
| 23 | CB07-46-0074_02 | Cerro Baul T1 | Cerro Baul 2007 | Proyecto Colesuyo 2017 | 1 | 2° molar inferior derecho | 2.0 | Análisis isotópico |
| 24 | CB16-56-1812_01 | Cerro Baul T1 | Cerro Baul 2016 | Programa Colesuyo 2015-2016 | 1 | 1er molar inferior izquierdo | 2.0 | Análisis isotópico |
| 25 | CB16-56-1812_02 | Cerro Baul T1 | Cerro Baul 2016 | Programa Colesuyo 2015-2016 | 1 | 3er molar superior izquierdo | 2.0 | Análisis isotópico |
| 26 | CB16-56-1812_03 | Cerro Baul T1 | Cerro Baul 2016 | Programa Colesuyo 2015-2016 | 1 | 6a costilla derecha (fragmento) | 7.0 | Análisis isotópico |
| 27 | CB16-56-1818_01 | Cerro Baul T1 | Cerro Baul 2016 | Programa Colesuyo 2015-2016 | 1 | 2° incisivo superior izquierdo (fragmentado en más de 10 partes) | 0.5 | Análisis isotópico |
| 28 | CB16-56-1818_02 | Cerro Baul T1 | Cerro Baul 2016 | Programa Colesuyo 2015-2016 | 1 | 3er molar superior izquierdo | 1.0 | Análisis isotópico |
| 29 | CB16-56-1818_03 | Cerro Baul T1 | Cerro Baul 2016 | Programa Colesuyo 2015-2016 | 1 | Vértebra torácica (fragmento del cuerpo) | | |
| 30 | CB16-56-1818_03 | Cerro Baul T1 | Cerro Baul 2016 | Programa Colesuyo 2015-2016 | 1 | Vértebra torácica (fragmento del arco) | | |
| 31 | CB16-56-1820_01 | Cerro Baul T1 | Cerro Baul 2016 | Programa Colesuyo 2015-2016 | 1 | 1er molar superior derecho (fragmentado en 3 partes) | 0.5 | Análisis isotópico |
| 32 | CB16-56-1820_02 | Cerro Baul T1 | Cerro Baul 2016 | Programa Colesuyo 2015-2016 | 1 | 2° molar superior derecho | 1.0 | Análisis isotópico |



| | | | | | | | | |
|----|-----------------|---------------|-----------------|-----------------------------|---|---|-----|--------------------|
| 33 | CB16-56-1820_03 | Cerro Baul T1 | Cerro Baul 2016 | Programa Colesuyo 2015-2016 | 1 | Fragmentos de costillas (dos) | 5.0 | Análisis isotópico |
| 34 | M6-1002_01 | M6 | ESTUQ | Proyecto Tuberculosis 2017 | 1 | 1er molar inferior izquierdo (permanente, 8 fragmentos) | 2.0 | Análisis isotópico |
| 35 | M6-1002_02 | M6 | ESTUQ | Proyecto Tuberculosis 2017 | 1 | 2° molar inferior izquierdo | 2.0 | Análisis isotópico |
| 36 | M6-1002_03 | M6 | ESTUQ | Proyecto Tuberculosis 2017 | 1 | 3er molar inferior izquierdo (permanente, 4 fragmentos) | 2.0 | Análisis isotópico |
| 37 | M6-1002_04 | M6 | ESTUQ | Proyecto Tuberculosis 2017 | 1 | 5a costilla derecha (fragmento) | 8.0 | Análisis isotópico |
| 38 | M6-1013_01 | M6 | ESTUQ | Proyecto Tuberculosis 2017 | 1 | 1er molar superior izquierdo | 2.0 | Análisis isotópico |
| 39 | M6-1013_02 | M6 | ESTUQ | Proyecto Tuberculosis 2017 | 1 | 2° molar inferior izquierdo | 2.0 | Análisis isotópico |
| 40 | M6-1013_03 | M6 | ESTUQ | Proyecto Tuberculosis 2017 | 1 | 3er molar superior izquierdo | 2.0 | Análisis isotópico |
| 41 | M6-1013_04 | M6 | ESTUQ | Proyecto Tuberculosis 2017 | 1 | 6a costilla izquierda (fragmentado en dos) | 5.0 | Análisis isotópico |
| 42 | M6-1021b_01 | M6 | ESTUQ | Proyecto Tuberculosis 2017 | 1 | 2° incisivo superior izquierdo | 0.5 | Análisis isotópico |
| 43 | M6-1021b_02 | M6 | ESTUQ | Proyecto Tuberculosis 2017 | 1 | 3er molar superior derecho | 2.0 | Análisis isotópico |
| 44 | M6-1021b_03 | M6 | ESTUQ | Proyecto Tuberculosis 2017 | 1 | Fragmento del tibia derecha | 9.0 | Análisis isotópico |
| 45 | M6-1183b_01 | M6 | ESTUQ | Proyecto Tuberculosis 2017 | 1 | 1er molar inferior derecho | 2.0 | Análisis isotópico |
| 46 | M6-1183b_02 | M6 | ESTUQ | Proyecto Tuberculosis 2017 | 1 | 2° molar inferior derecho | 2.0 | Análisis isotópico |
| 47 | M6-1183b_03 | M6 | ESTUQ | Proyecto Tuberculosis 2017 | 1 | 3er molar inferior derecho | 2.0 | Análisis isotópico |
| 48 | M6-1183b_04 | M6 | ESTUQ | Proyecto Tuberculosis 2017 | 1 | Costilla izquierda (fragmento) | 6.0 | Análisis isotópico |
| 49 | M6-2256a_01 | M6 | ESTUQ | Proyecto Tuberculosis 2017 | 1 | 1er molar inferior izquierdo (fragmentado en dos) | 2.0 | Análisis isotópico |



| | | | | | | | | |
|----|-------------|----|-------|----------------------------|---|---|-----|----------------------------------|
| 50 | M6-2256a_02 | M6 | ESTUQ | Proyecto Tuberculosis 2017 | 1 | 2° premolar inferior izquierdo | 1.0 | Análisis isotópico |
| 51 | M6-2256a_03 | M6 | ESTUQ | Proyecto Tuberculosis 2017 | 1 | Vértebra torácica (fragmento del arco) | 4.0 | ADN antiguo y análisis isotópico |
| 52 | M6-2297a_01 | M6 | ESTUQ | Proyecto Tuberculosis 2017 | 1 | 3er molar inferior izquierdo | 1.0 | Análisis isotópico |
| 53 | M6-2297b_01 | M6 | ESTUQ | Proyecto Tuberculosis 2017 | 1 | 1er molar superior izquierdo | 2.0 | Análisis isotópico |
| 54 | M6-2297b_02 | M6 | ESTUQ | Proyecto Tuberculosis 2017 | 1 | Fragmentos de costillas (cuatro fragmentos) | 3.0 | Análisis isotópico |
| 55 | M6-2330_01 | M6 | ESTUQ | Proyecto Tuberculosis 2017 | 1 | 7a costilla izquierda (nueve fragmentos) | 2.0 | Análisis isotópico |
| 56 | M6-3215_01 | M6 | ESTUQ | Proyecto Tuberculosis 2017 | 1 | 1er molar superior derecho | 2.0 | Análisis isotópico |
| 57 | M6-3215_02 | M6 | ESTUQ | Proyecto Tuberculosis 2017 | 1 | 2° molar inferior izquierdo | 2.0 | Análisis isotópico |
| 58 | M6-3215_03 | M6 | ESTUQ | Proyecto Tuberculosis 2017 | 1 | 3er molar inferior izquierdo | 2.0 | Análisis isotópico |
| 59 | M6-3215_04 | M6 | ESTUQ | Proyecto Tuberculosis 2017 | 1 | Costilla izquierda (3 fragmentos) | 7.0 | Análisis isotópico |
| 60 | M6-3248a_01 | M6 | ESTUQ | Proyecto Tuberculosis 2017 | 1 | 1er molar superior izquierdo | 2.0 | Análisis isotópico |
| 61 | M6-3248a_02 | M6 | ESTUQ | Proyecto Tuberculosis 2017 | 1 | 2° molar superior izquierdo | 6.0 | Análisis isotópico |
| 62 | M6-3248a_03 | M6 | ESTUQ | Proyecto Tuberculosis 2017 | 1 | 3er molar superior derecho | 6.0 | Análisis isotópico |
| 63 | M6-3248a_04 | M6 | ESTUQ | Proyecto Tuberculosis 2017 | 1 | 3a costilla izquierda (fragmento) | 6.0 | Análisis isotópico |
| 64 | M6-3299_01 | M6 | ESTUQ | Proyecto Tuberculosis 2017 | 1 | 1er molar superior izquierdo | 3.0 | Análisis isotópico |
| 65 | M6-3299_02 | M6 | ESTUQ | Proyecto Tuberculosis 2017 | 1 | 2° molar superior izquierdo | 2.0 | Análisis isotópico |
| 66 | M6-3299_03 | M6 | ESTUQ | Proyecto Tuberculosis 2017 | 1 | 3er molar superior izquierdo | 1.0 | Análisis isotópico |



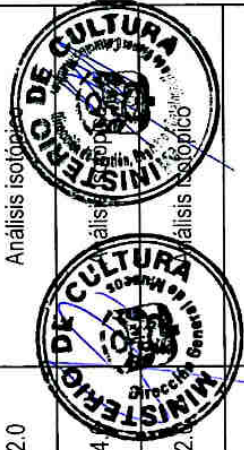
| | | | | | | | | |
|----|------------|----|-------|----------------------------|---|---------------------------------|-----|--------------------|
| 67 | M6-3299_04 | M6 | ESTUQ | Proyecto Tuberculosis 2017 | 1 | 3a costilla derecha (fragmento) | 6.0 | Análisis isotópico |
| 68 | M6-336a_01 | M6 | ESTUQ | Proyecto Tuberculosis 2017 | 1 | Clavícula izquierda (fragmento) | 3.0 | Análisis isotópico |
| 69 | M6-4176_01 | M6 | ESTUQ | Proyecto Tuberculosis 2017 | 1 | 1er molar superior izquierdo | 3.0 | Análisis isotópico |
| 70 | M6-4176_02 | M6 | ESTUQ | Proyecto Tuberculosis 2017 | 1 | 2° molar superior izquierdo | 3.0 | Análisis isotópico |
| 71 | M6-4176_03 | M6 | ESTUQ | Proyecto Tuberculosis 2017 | 1 | 3er molar superior izquierdo | 2.0 | Análisis isotópico |
| 72 | M6-4176_04 | M6 | ESTUQ | Proyecto Tuberculosis 2017 | 1 | Fragmentos de costillas (tres) | 7.0 | Análisis isotópico |
| 73 | M6-4268_01 | M6 | ESTUQ | Proyecto Tuberculosis 2017 | 1 | 1er incisivo superior derecho | 1.0 | Análisis isotópico |
| 74 | M6-4268_02 | M6 | ESTUQ | Proyecto Tuberculosis 2017 | 1 | 2° molar inferior derecho | 2.0 | Análisis isotópico |
| 75 | M6-4268_03 | M6 | ESTUQ | Proyecto Tuberculosis 2017 | 1 | 3er molar inferior izquierdo | 2.0 | Análisis isotópico |
| 76 | M6-4268_04 | M6 | ESTUQ | Proyecto Tuberculosis 2017 | 1 | 5a costilla derecha (fragmento) | 7.0 | Análisis isotópico |
| 77 | M6-5390_01 | M6 | ESTUQ | Proyecto Tuberculosis 2017 | 1 | 1er molar inferior derecho | 2.0 | Análisis isotópico |
| 78 | M6-5390_02 | M6 | ESTUQ | Proyecto Tuberculosis 2017 | 1 | 2° molar inferior izquierdo | 2.0 | Análisis isotópico |
| 79 | M6-5390_03 | M6 | ESTUQ | Proyecto Tuberculosis 2017 | 1 | 3er molar inferior derecho | 2.0 | Análisis isotópico |
| 80 | M6-5390_04 | M6 | ESTUQ | Proyecto Tuberculosis 2017 | 1 | 6a costilla derecha (fragmento) | 2.0 | Análisis isotópico |
| 81 | M6-5859_01 | M6 | ESTUQ | Proyecto Tuberculosis 2017 | 1 | 3er molar superior izquierdo | 2.0 | Análisis isotópico |
| 82 | M6-5859_02 | M6 | ESTUQ | Proyecto Tuberculosis 2017 | 1 | 8a costilla derecha (fragmento) | 7.0 | Análisis isotópico |
| 83 | M6-6464_01 | M6 | ESTUQ | Proyecto Tuberculosis 2017 | 1 | 1er molar inferior derecho | 1.0 | Análisis isotópico |



| | | | | | | | | |
|-----|--------------|----|------------|----------------------------|---|---|-----|--------------------|
| 84 | M6-6464_02 | M6 | ESTUQ | Proyecto Tuberculosis 2017 | 1 | 2° molar inferior derecho | 2.0 | Análisis isotópico |
| 85 | M6-6464_03 | M6 | ESTUQ | Proyecto Tuberculosis 2017 | 1 | 3er molar inferior derecho | 2.0 | Análisis isotópico |
| 86 | M6-6464_04 | M6 | ESTUQ | Proyecto Tuberculosis 2017 | 1 | 5a costilla derecha (fragmento) | 6.0 | Análisis isotópico |
| 87 | M6-771_01 | M6 | ESTUQ | Proyecto Tuberculosis 2017 | 1 | 1 ^{er} incisivo inferior izquierdo (deciduo) | 0.2 | Análisis isotópico |
| 88 | M6-771_02 | M6 | ESTUQ | Proyecto Tuberculosis 2017 | 1 | Fragmentos de costillas (tres) | 4.0 | Análisis isotópico |
| 89 | M6-99407a_01 | M6 | ESTUQ | Proyecto Tuberculosis 2017 | 1 | 6a costilla derecha (fragmentada en dos) | 3.0 | Análisis isotópico |
| 90 | M6-99407b_01 | M6 | ESTUQ | Proyecto Tuberculosis 2017 | 1 | 5a costilla derecha | 3.0 | Análisis isotópico |
| 91 | M1-0243_01 | M1 | M1 1987-88 | Proyecto Colesuyo 2017 | 1 | 3er molar inferior derecho | 2.0 | ADN Antiguo |
| 92 | M1-0646_01 | M1 | M1 1987-88 | Proyecto Colesuyo 2017 | 1 | 1er molar superior derecho | 2.0 | ADN Antiguo |
| 93 | M1-0748_01 | M1 | M1 1987-88 | Proyecto Colesuyo 2017 | 1 | 3er molar superior izquierdo | 2.0 | ADN Antiguo |
| 94 | M1-0748_02 | M1 | M1 1987-88 | Proyecto Colesuyo 2017 | 1 | falange proximal de mano | 2.0 | ADN Antiguo |
| 95 | M1-1340_01 | M1 | M1 1987-88 | Proyecto Colesuyo 2017 | 1 | 2° molar inferior izquierdo | 2.0 | ADN Antiguo |
| 96 | M1-1340_02 | M1 | M1 1987-88 | Proyecto Colesuyo 2017 | 1 | 7a costilla derecha (fragmento) | 2.0 | ADN Antiguo |
| 97 | M1-1884_01 | M1 | M1 1987-88 | Proyecto Colesuyo 2017 | 1 | 1er molar superior derecho | 2.0 | ADN Antiguo |
| 98 | M1-1884_02 | M1 | M1 1987-88 | Proyecto Colesuyo 2017 | 1 | 3er molar inferior derecho | 2.0 | ADN Antiguo |
| 99 | M1-1884_03 | M1 | M1 1987-88 | Proyecto Colesuyo 2017 | 1 | 8a costilla izquierda (fragmento) | 4.0 | ADN Antiguo |
| 100 | M1-2289_01 | M1 | M1 1987-88 | Proyecto Colesuyo 2017 | 1 | 1er molar superior derecho | 2.0 | Análisis isotópico |



| | | | | | | | | |
|-----|--------------|----|------------|------------------------|---|--------------------------------------|------|--------------------|
| 101 | M1-2289_02 | M1 | M1 1987-88 | Proyecto Colesuyo 2017 | 1 | Costilla derecha (fragmento) | 6.0 | Análisis isotópico |
| 102 | M1-2477-1_01 | M1 | M1 1987-88 | Proyecto Colesuyo 2017 | 1 | 3er molar inferior derecho | 2.0 | Análisis isotópico |
| 103 | M1-2477-1_02 | M1 | M1 1987-88 | Proyecto Colesuyo 2017 | 1 | Vértebra lumbar (fragmento del arco) | 11.0 | Análisis isotópico |
| 104 | M1-2479_01 | M1 | M1 1987-88 | Proyecto Colesuyo 2017 | 1 | 2° molar inferior derecho | 3.0 | Análisis isotópico |
| 105 | M1-2479_02 | M1 | M1 1987-88 | Proyecto Colesuyo 2017 | 1 | Costilla izquierda (fragmento) | 8.0 | Análisis isotópico |
| 106 | M1-2616_01 | M1 | M1 1987-88 | Proyecto Colesuyo 2017 | 1 | 1er molar superior derecho | 3.0 | Análisis isotópico |
| 107 | M1-2616_02 | M1 | M1 1987-88 | Proyecto Colesuyo 2017 | 1 | 3er molar inferior derecho | 2.0 | Análisis isotópico |
| 108 | M1-2616_03 | M1 | M1 1987-88 | Proyecto Colesuyo 2017 | 1 | 6a costilla derecha (fragmento) | 7.0 | Análisis isotópico |
| 109 | M1-2705_01 | M1 | M1 1987-88 | Proyecto Colesuyo 2017 | 1 | 2° molar superior derecho | 2.0 | Análisis isotópico |
| 110 | M1-2705_02 | M1 | M1 1987-88 | Proyecto Colesuyo 2017 | 1 | Costilla derecha (fragmento) | 8.0 | Análisis isotópico |
| 111 | M1-2865_01 | M1 | M1 1987-88 | Proyecto Colesuyo 2017 | 1 | 2° molar inferior izquierdo | 2.0 | Análisis isotópico |
| 112 | M1-2865_02 | M1 | M1 1987-88 | Proyecto Colesuyo 2017 | 1 | 3er molar inferior derecho | 2.0 | Análisis isotópico |
| 113 | M1-2865_03 | M1 | M1 1987-88 | Proyecto Colesuyo 2017 | 1 | 6a costilla derecha (fragmento) | 4.0 | Análisis isotópico |
| 114 | M1-3768_01 | M1 | M1 1987-88 | Proyecto Colesuyo 2017 | 1 | 2° molar superior derecho | 2.0 | Análisis isotópico |
| 115 | M1-3768_02 | M1 | M1 1987-88 | Proyecto Colesuyo 2017 | 1 | Costilla izquierda (fragmento) | 5.0 | Análisis isotópico |
| 116 | M1-3833_01 | M1 | M1 1987-88 | Proyecto Colesuyo 2017 | 1 | 2° molar inferior izquierdo | 2.0 | Análisis isotópico |
| 117 | M1-3833_02 | M1 | M1 1987-88 | Proyecto Colesuyo 2017 | 1 | 3er molar superior derecho | 2.0 | Análisis isotópico |



| | | | | | | | | |
|-----|--------------|-----|------------|----------------------------|---|--|-----|--------------------|
| 118 | M1-3833_03 | M1 | M1 1987-88 | Proyecto Colesuyo 2017 | 1 | Cúbito izquierdo (fragmento) | 6.0 | Análisis isotópico |
| 119 | M1-283017_01 | M1 | M1 1995 | Proyecto Colesuyo 2017 | 1 | 2° incisivo inferior izquierdo | 1.0 | Análisis isotópico |
| 120 | M1-283017_02 | M1 | M1 1995 | Proyecto Colesuyo 2017 | 1 | 3er molar superior izquierdo | 2.0 | Análisis isotópico |
| 121 | M1-283017_03 | M1 | M1 1995 | Proyecto Colesuyo 2017 | 1 | 7a costilla izquierda (fragmento) | 5.0 | Análisis isotópico |
| 122 | M73-1054_01 | M73 | MAS 1998 | Proyecto Colesuyo 2017 | 1 | 1er molar inferior derecho | 2.0 | Análisis isotópico |
| 123 | M73-1054_02 | M73 | MAS 1998 | Proyecto Colesuyo 2017 | 1 | 2° molar inferior derecho | 2.0 | Análisis isotópico |
| 124 | M73-1054_03 | M73 | MAS 1998 | Proyecto Colesuyo 2017 | 1 | 3er molar inferior derecho | 2.0 | Análisis isotópico |
| 125 | M73-1054_04 | M73 | MAS 1998 | Proyecto Colesuyo 2017 | 1 | 3a costilla derecha (fragmento) | 6.0 | Análisis isotópico |
| 126 | M73-58_01 | M73 | MAS 1998 | Proyecto Colesuyo 2017 | 1 | 1er incisivo superior derecho | 1.0 | Análisis isotópico |
| 127 | M73-58_02 | M73 | MAS 1998 | Proyecto Colesuyo 2017 | 1 | 4a costilla derecha | 5.0 | Análisis isotópico |
| 128 | M7-1510_01 | M7 | MAS 2003 | Proyecto Tuberculosis 2017 | 1 | 1er molar inferior derecho | 2.0 | Análisis isotópico |
| 129 | M7-1510_02 | M7 | MAS 2003 | Proyecto Tuberculosis 2017 | 1 | 2° molar inferior derecho | 2.0 | Análisis isotópico |
| 130 | M7-1510_03 | M7 | MAS 2003 | Proyecto Tuberculosis 2017 | 1 | 3er molar inferior derecho | 2.0 | Análisis isotópico |
| 131 | M7-1510_04 | M7 | MAS 2003 | Proyecto Tuberculosis 2017 | 1 | 4a costilla izquierda (fragmento) | 2.0 | Análisis isotópico |
| 132 | M7-1517_01 | M7 | MAS 2003 | Proyecto Tuberculosis 2017 | 1 | 2° molar superior derecho | 7.0 | Análisis isotópico |
| 133 | M7-1517_02 | M7 | MAS 2003 | Proyecto Tuberculosis 2017 | 1 | Fragmentos de cráneo (9) | 7.0 | Análisis isotópico |
| 134 | M73-102A_01 | M73 | MAS 2003 | Proyecto Tuberculosis 2017 | 1 | 1er molar superior derecho (dos fragmentos) | 2.0 | Análisis isotópico |



| | | | | | | | | |
|-----|-------------|-----|----------|----------------------------|---|---|-----|----------------------------------|
| 135 | M73-102A_02 | M73 | MAS 2003 | Proyecto Tuberculosis 2017 | 1 | 2° molar superior derecho | 3.0 | Análisis isotópico |
| 136 | M73-102A_03 | M73 | MAS 2003 | Proyecto Tuberculosis 2017 | 1 | 3er molar superior derecho | 2.0 | Análisis isotópico |
| 137 | M73-102A_04 | M73 | MAS 2003 | Proyecto Tuberculosis 2017 | 1 | 6a costilla izquierda (fragmento) | 5.0 | Análisis isotópico |
| 138 | M73-102B_01 | M73 | MAS 2003 | Proyecto Tuberculosis 2017 | 1 | 1er molar inferior izquierdo (4 fragmentos) | 2.0 | Análisis isotópico |
| 139 | M73-102B_02 | M73 | MAS 2003 | Proyecto Tuberculosis 2017 | 1 | 9a costilla izquierda (fragmento) | 6.0 | Análisis isotópico |
| 140 | M73-1416_01 | M73 | MAS 2003 | Proyecto Tuberculosis 2017 | 1 | 2° metatarsiano derecho | 5.0 | Análisis isotópico |
| 141 | M76=1019_01 | M76 | MAS 2003 | Proyecto Tuberculosis 2017 | 1 | 1er molar superior izquierdo | 2.0 | Análisis isotópico |
| 142 | M76=1019_02 | M76 | MAS 2003 | Proyecto Tuberculosis 2017 | 1 | 2° molar superior izquierdo | 2.0 | Análisis isotópico |
| 143 | M76=1019_03 | M76 | MAS 2003 | Proyecto Tuberculosis 2017 | 1 | 3er molar superior izquierdo | 2.0 | Análisis isotópico |
| 144 | M1D-12_01 | M1D | MOQ | Proyecto Tuberculosis 2017 | 1 | 1er molar inferior izquierdo | 2.0 | ADN antiguo y análisis isotópico |
| 145 | M1D-12_02 | M1D | MOQ | Proyecto Tuberculosis 2017 | 1 | 3er molar inferior izquierdo | 2.0 | ADN antiguo y análisis isotópico |
| 146 | M1D-12_03 | M1D | MOQ | Proyecto Tuberculosis 2017 | 1 | 6a costilla derecha (fragmento) | 4.0 | ADN antiguo y análisis isotópico |
| 147 | M1D-12_04 | M1D | MOQ | Proyecto Tuberculosis 2017 | 1 | Vértebra torácica (fragmento del cuerpo) | 1.0 | ADN antiguo y análisis isotópico |
| 148 | M29A-45_1 | M29 | MOQ | Proyecto Colesuyo 2017 | 1 | 2° premolar superior izquierdo | 6.0 | ADN antiguo y análisis isotópico |
| 149 | M29A-45_2 | M29 | MOQ | Proyecto Colesuyo 2017 | 1 | Vértebra lumbar (fragmento de cuerpo) | 4.0 | ADN antiguo y análisis isotópico |
| 150 | M29A-45_3 | M29 | MOQ | Proyecto Colesuyo 2017 | 1 | Vértebra lumbar (fragmento de arco) | 4.0 | ADN antiguo y análisis isotópico |
| 151 | M30A-11_1 | M30 | MOQ | Proyecto Colesuyo 2017 | 1 | 2° molar inferior derecho | 2.0 | Análisis isotópico |



| | | | | | | | | |
|-----|-------------|---------|---------------|----------------------------|---|---|------|----------------------------------|
| 152 | M30A-11_2 | M30 | MOQ | Proyecto Colesuyo 2017 | 1 | Costilla derecha (fragmento) | 7.0 | Análisis isotópico |
| 153 | M30-A41_1 | M30 | MOQ | Proyecto Colesuyo 2017 | 1 | Radio izquierdo (fragmento) | 4.0 | Análisis isotópico |
| 154 | M29A4=4_01 | M29 | MOQ | Proyecto Colesuyo 2017 | 1 | 1er molar superior izquierdo (fragmentado en dos) | 2.0 | ADN antiguo y análisis isotópico |
| 155 | M29A4=4_02 | M29 | MOQ | Proyecto Colesuyo 2017 | 1 | Fíbula (fragmento) | 2.0 | ADN antiguo y análisis isotópico |
| 156 | M10-2015_01 | M10 Omo | Omo 1986-1987 | Proyecto Tuberculosis 2017 | 1 | 1er molar inferior izquierdo | 2.0 | Análisis isotópico |
| 157 | M10-2015_02 | M10 Omo | Omo 1986-1987 | Proyecto Tuberculosis 2017 | 1 | 2° molar inferior izquierdo | 2.0 | Análisis isotópico |
| 158 | M10-2015_03 | M10 Omo | Omo 1986-1987 | Proyecto Tuberculosis 2017 | 1 | Fibula derecha (fragmento) | 10.0 | Análisis isotópico |
| 159 | M10-2126_01 | M10 Omo | Omo 1986-1987 | Proyecto Tuberculosis 2017 | 1 | 1er molar inferior izquierdo | 3.0 | Análisis isotópico |
| 160 | M10-2126_02 | M10 Omo | Omo 1986-1987 | Proyecto Tuberculosis 2017 | 1 | 2° molar inferior izquierdo | 2.0 | Análisis isotópico |
| 161 | M10-2126_03 | M10 Omo | Omo 1986-1987 | Proyecto Tuberculosis 2017 | 1 | 3er molar inferior izquierdo | 2.0 | Análisis isotópico |
| 162 | M10-2126_04 | M10 Omo | Omo 1986-1987 | Proyecto Tuberculosis 2017 | 1 | 1 ^{er} vértebra cervical (fragmento) | 4.0 | Análisis isotópico |
| 163 | M10-2126_05 | M10 Omo | Omo 1986-1987 | Proyecto Tuberculosis 2017 | 1 | 1 ^{er} vértebra cervical (fragmento) | 4.0 | Análisis isotópico |
| 164 | M10-2126_06 | M10 Omo | Omo 1986-1987 | Proyecto Tuberculosis 2017 | 1 | 1 ^{er} vértebra cervical (fragmento) | 4.0 | Análisis isotópico |
| 165 | M10-2126_07 | M10 Omo | Omo 1986-1987 | Proyecto Tuberculosis 2017 | 1 | 1 ^{er} vértebra cervical (fragmento) | 4.0 | Análisis isotópico |
| 166 | M10-2164_01 | M10 Omo | Omo 1986-1987 | Proyecto Tuberculosis 2017 | 1 | 1er molar inferior derecho | 2.0 | Análisis isotópico |
| 167 | M10-2164_02 | M10 Omo | Omo 1986-1987 | Proyecto Tuberculosis 2017 | 1 | 2° molar inferior derecho | 2.0 | Análisis isotópico |
| 168 | M10-2164_03 | M10 Omo | Omo 1986-1987 | Proyecto Tuberculosis 2017 | 1 | 3er molar inferior izquierdo | 1.0 | Análisis isotópico |

| | | | | | | | | |
|-----|---------------------|---------|---------------|----------------------------|---|---|------|--------------------|
| 169 | M10-2164_04 | M10 Omo | Omo 1986-1987 | Proyecto Tuberculosis 2017 | 1 | 3a costilla derecha | 4.0 | Análisis isotópico |
| 170 | M10_2188_01 | M10 Omo | Omo 1986-1987 | Proyecto Tuberculosis 2017 | 1 | 9a costilla derecha (fragmento) | 8.0 | Análisis isotópico |
| 171 | M10-2188/2181/2172_ | M10 Omo | Omo 1986-1987 | Proyecto Tuberculosis 2017 | 1 | 1er molar superior derecho | 2.0 | Análisis isotópico |
| 172 | M10-2188B_01 | M10 Omo | Omo 1986-1987 | Proyecto Tuberculosis 2017 | 1 | 1er molar superior izquierdo | 2.0 | Análisis isotópico |
| 173 | M10-2188B_02 | M10 Omo | Omo 1986-1987 | Proyecto Tuberculosis 2017 | 1 | 2° molar superior izquierdo | 2.0 | Análisis isotópico |
| 174 | M10-2188B_03 | M10 Omo | Omo 1986-1987 | Proyecto Tuberculosis 2017 | 1 | 3er molar superior derecho | 2.0 | Análisis isotópico |
| 175 | M10-2188C_01 | M10 Omo | Omo 1986-1987 | Proyecto Tuberculosis 2017 | 1 | 2° molar inferior derecho | 3.0 | Análisis isotópico |
| 176 | M10-2188C_02 | M10 Omo | Omo 1986-1987 | Proyecto Tuberculosis 2017 | 1 | 3er molar inferior derecho | 2.0 | Análisis isotópico |
| 177 | M10-2188C_03 | M10 Omo | Omo 1986-1987 | Proyecto Tuberculosis 2017 | 1 | 9a costilla derecha (fragmento) | 8.0 | Análisis isotópico |
| 178 | M10-7304_01 | M10 Omo | Omo 2010-2011 | Proyecto Tuberculosis 2017 | 1 | Canino superior derecho | 1.0 | ADN Antiguo |
| 179 | M10-7304_02 | M10 Omo | Omo 2010-2011 | Proyecto Tuberculosis 2017 | 1 | Vértebra lumbar (fragmento del arco) (3 fragmentos) | 6.0 | ADN Antiguo |
| 180 | M10-7304_03 | M10 Omo | Omo 2010-2011 | Proyecto Tuberculosis 2017 | 1 | Vértebra lumbar (fragmento del cuerpo) | 13.0 | ADN Antiguo |
| 181 | M10-7543_01 | M10 Omo | Omo 2010-2011 | Proyecto Tuberculosis 2017 | 1 | Canino inferior izquierdo (deciduo) | 4.0 | ADN Antiguo |
| 182 | M10-7543_02 | M10 Omo | Omo 2010-2011 | Proyecto Tuberculosis 2017 | 1 | Vértebra lumbar | 4.0 | ADN Antiguo |
| 183 | M10-7547_01 | M10 Omo | Omo 2010-2011 | Proyecto Tuberculosis 2017 | 1 | 2° molar superior izquierdo (deciduo) | 2.0 | ADN Antiguo |
| 184 | M10-7547_02 | M10 Omo | Omo 2010-2011 | Proyecto Tuberculosis 2017 | 1 | Vértebra lumbar | 4.0 | ADN Antiguo |
| 185 | M10-7707_01 | M10 Omo | Omo 2010-2011 | Proyecto Tuberculosis 2017 | 1 | Vértebra lumbar (fragmento del cuerpo) | 3.0 | ADN Antiguo |

| | | | | | | | | |
|-----|-------------|---------|---------------|----------------------------|---|--|------|-------------|
| 186 | M10-7707_02 | M10 Omo | Omo 2010-2011 | Proyecto Tuberculosis 2017 | 1 | Vértebra lumbar (fragmento del arco) | 2.0 | ADN Antiguo |
| 187 | M10-7707_03 | M10 Omo | Omo 2010-2011 | Proyecto Tuberculosis 2017 | 1 | Canino inferior derecho (deciduo) | 1.0 | ADN Antiguo |
| 188 | M10-7798_01 | M10 Omo | Omo 2010-2011 | Proyecto Tuberculosis 2017 | 1 | 2° incisivo inferior izquierdo (deciduo) | 1.0 | ADN Antiguo |
| 189 | M10-7798_02 | M10 Omo | Omo 2010-2011 | Proyecto Tuberculosis 2017 | 1 | Cúbito izquierdo (fragmento) | 7.0 | ADN Antiguo |
| 190 | M10-7843_01 | M10 Omo | Omo 2010-2011 | Proyecto Tuberculosis 2017 | 1 | 2° incisivo inferior izquierdo | 1.0 | ADN Antiguo |
| 191 | M10-7843_02 | M10 Omo | Omo 2010-2011 | Proyecto Tuberculosis 2017 | 1 | Vértebra torácica | 5.0 | ADN Antiguo |
| 192 | M10-8789_01 | M10 Omo | Omo 2010-2011 | Proyecto Tuberculosis 2017 | 1 | 2° molar inferior izquierdo | 2.0 | ADN Antiguo |
| 193 | M10-8789_02 | M10 Omo | Omo 2010-2011 | Proyecto Tuberculosis 2017 | 1 | Vértebra torácica (fragmento del cuerpo) | 5.0 | ADN Antiguo |
| 194 | M10-8789_03 | M10 Omo | Omo 2010-2011 | Proyecto Tuberculosis 2017 | 1 | vertebra toracica (fragmento del arco) | 2.0 | ADN Antiguo |
| 195 | M10-8839_01 | M10 Omo | Omo 2010-2011 | Proyecto Tuberculosis 2017 | 1 | 2° premolar superior derecho | 1.0 | ADN Antiguo |
| 196 | M10-8839_02 | M10 Omo | Omo 2010-2011 | Proyecto Tuberculosis 2017 | 1 | Vértebra lumbar (fragmento del cuerpo) | 13.0 | ADN Antiguo |
| 197 | M10-8839_03 | M10 Omo | Omo 2010-2011 | Proyecto Tuberculosis 2017 | 1 | Vértebra lumbar (fragmento del arco) | 7.0 | ADN Antiguo |
| 198 | M10-9195_01 | M10 Omo | Omo 2010-2011 | Proyecto Tuberculosis 2017 | 1 | 2° molar superior derecho | 8.0 | ADN Antiguo |
| 199 | M10-9195_02 | M10 Omo | Omo 2010-2011 | Proyecto Tuberculosis 2017 | 1 | Vértebra torácica (fragmento del arco) | 12.0 | ADN Antiguo |
| 200 | M10-9195_03 | M10 Omo | Omo 2010-2011 | Proyecto Tuberculosis 2017 | 1 | Vértebra torácica (fragmento del cuerpo) | 5.0 | ADN Antiguo |
| 201 | M10M-45_01 | M10 Omo | OMOVAR | Proyecto Tuberculosis 2017 | 1 | Vértebra torácica (fragmento del cuerpo) | 5.0 | ADN Antiguo |
| 202 | M10M-45_02 | M10 Omo | OMOVAR | Proyecto Tuberculosis 2017 | 1 | Vértebra torácica (fragmento del arco) | 6.0 | ADN Antiguo |



| | | | | | | | | |
|-----|------------------|---------|----------|----------------------------|---|---|------|--------------------|
| 203 | M10T-61_1 | M10 Omo | OMOVAR | Proyecto Tuberculosis 2017 | 1 | 2° premolar inferior derecho | 1.0 | ADN Antiguo |
| 204 | M10T-61_2 | M10 Omo | OMOVAR | Proyecto Tuberculosis 2017 | 1 | Vértebra torácica (fragmento del arco) | 6.0 | ADN Antiguo |
| 205 | M10T-61_3 | M10 Omo | OMOVAR | Proyecto Tuberculosis 2017 | 1 | Vértebra torácica (fragmento del cuerpo) | 5.0 | ADN Antiguo |
| 206 | M16-5021_01 | M16 Omo | Omo Alto | Proyecto Tuberculosis 2017 | 1 | 2° molar inferior izquierdo | 2.0 | Análisis isotópico |
| 207 | M16-5021_02 | M16 Omo | Omo Alto | Proyecto Tuberculosis 2017 | 1 | 9a costilla derecha (fragmento) | 7.0 | Análisis isotópico |
| 208 | M16-5039_01 | M16 Omo | Omo Alto | Proyecto Tuberculosis 2017 | 1 | 2° molar inferior derecho | 3.0 | Análisis isotópico |
| 209 | M16-5039_02 | M16 Omo | Omo Alto | Proyecto Tuberculosis 2017 | 1 | 9a costilla izquierda (fragmento) | 10.0 | Análisis isotópico |
| 210 | M16-5046_01 | M16 Omo | Omo Alto | Proyecto Tuberculosis 2017 | 1 | 2° molar superior derecho | 2.0 | Análisis isotópico |
| 211 | M16-5046_02 | M16 Omo | Omo Alto | Proyecto Tuberculosis 2017 | 1 | Fragmentos de costillas (3 fragmentos) | 10.0 | Análisis isotópico |
| 212 | M16-5063_01* | M16 Omo | Omo Alto | Proyecto Tuberculosis 2017 | 1 | 1er molar superior derecho | 2.0 | Análisis isotópico |
| 213 | M16-5063_02 | M16 Omo | Omo Alto | Proyecto Tuberculosis 2017 | 1 | 2° molar superior derecho | 3.0 | Análisis isotópico |
| 214 | M16-5063_03 | M16 Omo | Omo Alto | Proyecto Tuberculosis 2017 | 1 | 3er molar superior derecho | 2.0 | Análisis isotópico |
| 215 | M16-5063_04 | M16 Omo | Omo Alto | Proyecto Tuberculosis 2017 | 1 | 8a costilla derecha (fragmento) | 2.0 | Análisis isotópico |
| 216 | M16-5155_01 | M16 Omo | Omo Alto | Proyecto Tuberculosis 2017 | 1 | 2° molar superior derecho | 2.0 | Análisis isotópico |
| 217 | M16-5155_02 | M16 Omo | Omo Alto | Proyecto Tuberculosis 2017 | 1 | 10a costilla izquierda (fragmento) | 8.0 | Análisis isotópico |
| 218 | M16-5199:5202_01 | M16 Omo | Omo Alto | Proyecto Tuberculosis 2017 | 1 | 1er molar inferior izquierdo (2 fragmentos) | 2.0 | Análisis isotópico |
| 219 | M16-5199:5202_02 | M16 Omo | Omo Alto | Proyecto Tuberculosis 2017 | 1 | 3er molar inferior izquierdo | 1.0 | Análisis isotópico |



| | | | | | | | | |
|-----|------------------|---------|----------|----------------------------|---|---|-----|----------------------------------|
| 220 | M16-5199:5202_03 | M16 Omo | Omo Alto | Proyecto Tuberculosis 2017 | 1 | 7a costilla izquierda (fragmento) | 8.0 | Análisis isotópico |
| 221 | M16-5266_01 | M16 Omo | Omo Alto | Proyecto Tuberculosis 2017 | 1 | 10a costilla derecha | 8.0 | Análisis isotópico |
| 222 | M16-5275_01 | M16 Omo | Omo Alto | Proyecto Tuberculosis 2017 | 1 | 5a costilla derecha (fragmento) | 3.0 | Análisis isotópico |
| 223 | M16-5017_01 | M16 Omo | Omo Alto | Proyecto Tuberculosis 2017 | 1 | 6a costilla izquierda (fragmento) | 1.0 | Análisis isotópico |
| 224 | M16-5034_01 | M16 Omo | Omo Alto | Proyecto Tuberculosis 2017 | 1 | 5a costilla derecha (fragmento) | 2.0 | Análisis isotópico |
| 225 | M16-5021_01 | M16 Omo | Omo Alto | Proyecto Tuberculosis 2017 | 1 | 2° molar superior izquierda | 2.0 | Análisis isotópico |
| 226 | M16-5021_02 | M16 Omo | Omo Alto | Proyecto Tuberculosis 2017 | 1 | 9a costilla izquierda (fragmento) | 5.0 | Análisis isotópico |
| 227 | M16-5050_01 | M16 Omo | Omo Alto | Proyecto Tuberculosis 2017 | 1 | 8a costilla derecha (fragmento) | 1.0 | Análisis isotópico |
| 228 | M16-5134_01 | M16 Omo | Omo Alto | Proyecto Tuberculosis 2017 | 1 | Tibia izquierda (fragmento) | 1.0 | Análisis isotópico |
| 229 | M16-5188_01 | M16 Omo | Omo Alto | Proyecto Tuberculosis 2017 | 1 | 3a costilla derecha (fragmento) | 1.0 | Análisis isotópico |
| 230 | M16-5157_01 | M16 Omo | Omo Alto | Proyecto Tuberculosis 2017 | 1 | Húmero derecho (fragmento) (2 fragmentos) | 1.0 | Análisis isotópico |
| 231 | M16-5272_01 | M16 Omo | Omo Alto | Proyecto Tuberculosis 2017 | 1 | 4a costilla derecha (fragmento) (3 fragmentos) | 3.0 | Análisis isotópico |
| 232 | M16-5030_01 | M16 Omo | Omo Alto | Proyecto Tuberculosis 2017 | 1 | 7a costilla derecha (fragmento) | 2.0 | Análisis isotópico |
| 233 | M11-2023_01 | M11 | M11 OMO | Proyecto Tuberculosis 2017 | 1 | 6a costilla derecha (fragmento) | 2.0 | ADN antiguo y análisis isotópico |
| 234 | M11-2023_02 | M11 | M11 OMO | Proyecto Tuberculosis 2017 | 1 | 1er molar superior izquierdo | 2.0 | ADN antiguo y análisis isotópico |
| 235 | M11-2023_03 | M11 | M11 OMO | Proyecto Tuberculosis 2017 | 1 | 2° molar superior izquierdo | 2.0 | ADN antiguo y análisis isotópico |
| 236 | M11-2023_04 | M11 | M11 OMO | Proyecto Tuberculosis 2017 | 1 | Canino inferior izquierdo | 1.0 | ADN antiguo y análisis isotópico |



| | | | | | | | | |
|-----|-------------|-----|-----------------|----------------------------|---|--|------|----------------------------------|
| 237 | M11-2023_05 | M11 | M11 OMO | Proyecto Tuberculosis 2017 | 1 | 2° incisivo inferior izquierdo | 0.5 | ADN antiguo y análisis isotópico |
| 238 | M70-2276_01 | M70 | Rio Muerto 2006 | Proyecto Tuberculosis 2017 | 1 | 1er incisivo inferior derecho | 0.5 | Análisis isotópico |
| 239 | M70-2276_02 | M70 | Rio Muerto 2006 | Proyecto Tuberculosis 2017 | 1 | 3er molar inferior izquierdo | 2.0 | ADN antiguo y análisis isotópico |
| 240 | M70-2276_03 | M70 | Rio Muerto 2006 | Proyecto Tuberculosis 2017 | 1 | Vértebra lumbar (fragmento del cuerpo) | 10.0 | Análisis isotópico |
| 241 | M70-2276_04 | M70 | Rio Muerto 2006 | Proyecto Tuberculosis 2017 | 1 | Vértebra lumbar (fragmento del arco) | 6.0 | Análisis isotópico |
| 242 | M70-2426_01 | M70 | Rio Muerto 2006 | Proyecto Tuberculosis 2017 | 1 | 2° molar inferior izquierdo | 2.0 | ADN antiguo y análisis isotópico |
| 243 | M70-2426_02 | M70 | Rio Muerto 2006 | Proyecto Tuberculosis 2017 | 1 | Vértebra cervical (fragmento del cuerpo) | 2.0 | ADN Antiguo |
| 244 | M70-2426_03 | M70 | Rio Muerto 2006 | Proyecto Tuberculosis 2017 | 1 | Vértebra cervical (fragmento del arco) (fragmentado en tres) | 4.0 | ADN antiguo y análisis isotópico |
| 245 | M70-2426_04 | M70 | Rio Muerto 2006 | Proyecto Tuberculosis 2017 | 1 | Vértebra torácica (fragmento del cuerpo) | 7.0 | ADN antiguo y análisis isotópico |
| 246 | M70-2426_05 | M70 | Rio Muerto 2006 | Proyecto Tuberculosis 2017 | 1 | Vértebra torácica (fragmento del arco) | 5.0 | ADN antiguo y análisis isotópico |
| 247 | M70-2671_01 | M70 | Rio Muerto 2006 | Proyecto Tuberculosis 2017 | 1 | 2° molar inferior izquierdo | 2.0 | Análisis isotópico |
| 248 | M70-2671_02 | M70 | Rio Muerto 2006 | Proyecto Tuberculosis 2017 | 1 | Vértebra torácica (fragmento del cuerpo) | 5.0 | ADN antiguo y análisis isotópico |
| 249 | M70-2671_03 | M70 | Rio Muerto 2006 | Proyecto Tuberculosis 2017 | 1 | Vértebra torácica (fragmento del arco) | 2.0 | ADN antiguo y análisis isotópico |
| 250 | M70-2678_01 | M70 | Rio Muerto 2006 | Proyecto Tuberculosis 2017 | 1 | 2° molar superior izquierdo | 2.0 | ADN antiguo y análisis isotópico |
| 251 | M70-2687_01 | M70 | Rio Muerto 2006 | Proyecto Tuberculosis 2017 | 1 | Canino inferior derecho (deciduo) | 0.5 | ADN antiguo y análisis isotópico |
| 252 | M70-2687_02 | M70 | Rio Muerto 2006 | Proyecto Tuberculosis 2017 | 1 | Vértebra torácica | 4.0 | ADN antiguo y análisis isotópico |
| 253 | M70-2687_03 | M70 | Rio Muerto 2006 | Proyecto Tuberculosis 2017 | 1 | 1er molar inferior izquierdo | 2.0 | Análisis isotópico |



| | | | | | | | | |
|-----|--------------|-----|-----------------|----------------------------|---|--|------|----------------------------------|
| 254 | M70-2896_01 | M70 | Rio Muerto 2006 | Proyecto Tuberculosis 2017 | 1 | Vértebra lumbar (fragmento del cuerpo) | 18.0 | ADN antiguo y análisis isotópico |
| 255 | M70-2896_02 | M70 | Rio Muerto 2006 | Proyecto Tuberculosis 2017 | 1 | Vértebra lumbar (fragmento del arco) | 8.0 | ADN antiguo y análisis isotópico |
| 256 | M70-2896_03 | M70 | Rio Muerto 2006 | Proyecto Tuberculosis 2017 | 1 | 2° premolar inferior izquierdo | 1.0 | ADN antiguo y análisis isotópico |
| 257 | M70-2908_01 | M70 | Rio Muerto 2006 | Proyecto Tuberculosis 2017 | 1 | 1er incisivo inferior derecho | 1.0 | ADN antiguo y análisis isotópico |
| 258 | M70-2999_01 | M70 | Rio Muerto 2006 | Proyecto Tuberculosis 2017 | 1 | 2° molar inferior izquierdo | 2.0 | Análisis isotópico |
| 259 | M70-2999_02 | M70 | Rio Muerto 2006 | Proyecto Tuberculosis 2017 | 1 | Vértebra lumbar (fragmento del cuerpo) | 13.0 | ADN antiguo y análisis isotópico |
| 260 | M70-2999_03 | M70 | Rio Muerto 2006 | Proyecto Tuberculosis 2017 | 1 | Vértebra lumbar (fragmento del arco) | 6.0 | ADN antiguo y análisis isotópico |
| 261 | M70B-2495_01 | M70 | Rio Muerto 2006 | Proyecto Tuberculosis 2017 | 1 | 2° molar superior derecho | 2.0 | ADN antiguo y análisis isotópico |
| 262 | M70B=4402_01 | M70 | Rio Muerto 2007 | Proyecto Tuberculosis 2017 | 1 | 1er molar superior izquierdo | 2.0 | Análisis isotópico |
| 263 | M70B=4402_02 | M70 | Rio Muerto 2007 | Proyecto Tuberculosis 2017 | 1 | 2° molar superior derecho | 2.0 | Análisis isotópico |
| 264 | M70B=4402_03 | M70 | Rio Muerto 2007 | Proyecto Tuberculosis 2017 | 1 | 3er molar superior izquierdo | 1.0 | Análisis isotópico |
| 265 | M70B=4468_01 | M70 | Rio Muerto 2007 | Proyecto Tuberculosis 2017 | 1 | Fragmento del sacro | 2.0 | Análisis isotópico |
| 266 | M70B=4468_02 | M70 | Rio Muerto 2007 | Proyecto Tuberculosis 2017 | 1 | 2° molar superior izquierdo | 2.0 | ADN antiguo y análisis isotópico |
| 267 | M43-4237_01 | M43 | Rio Muerto 2008 | Proyecto Tuberculosis 2017 | 1 | 2° molar inferior izquierdo | 2.0 | ADN antiguo y análisis isotópico |
| 268 | M43-4237_02 | M43 | Rio Muerto 2008 | Proyecto Tuberculosis 2017 | 1 | 3a costilla derecha | 5.0 | Análisis isotópico |
| 269 | M43-4835_01 | M43 | Rio Muerto 2008 | Proyecto Tuberculosis 2017 | 1 | 3er molar inferior derecho | 1.0 | Análisis isotópico |
| 270 | M43-4870_01 | M43 | Rio Muerto 2008 | Proyecto Tuberculosis 2017 | 1 | 1er molar inferior derecho | 2.0 | Análisis isotópico |

